

Fig. 46-II Modelo DHI/MIKE21-BW

Batimetria – Solução 3

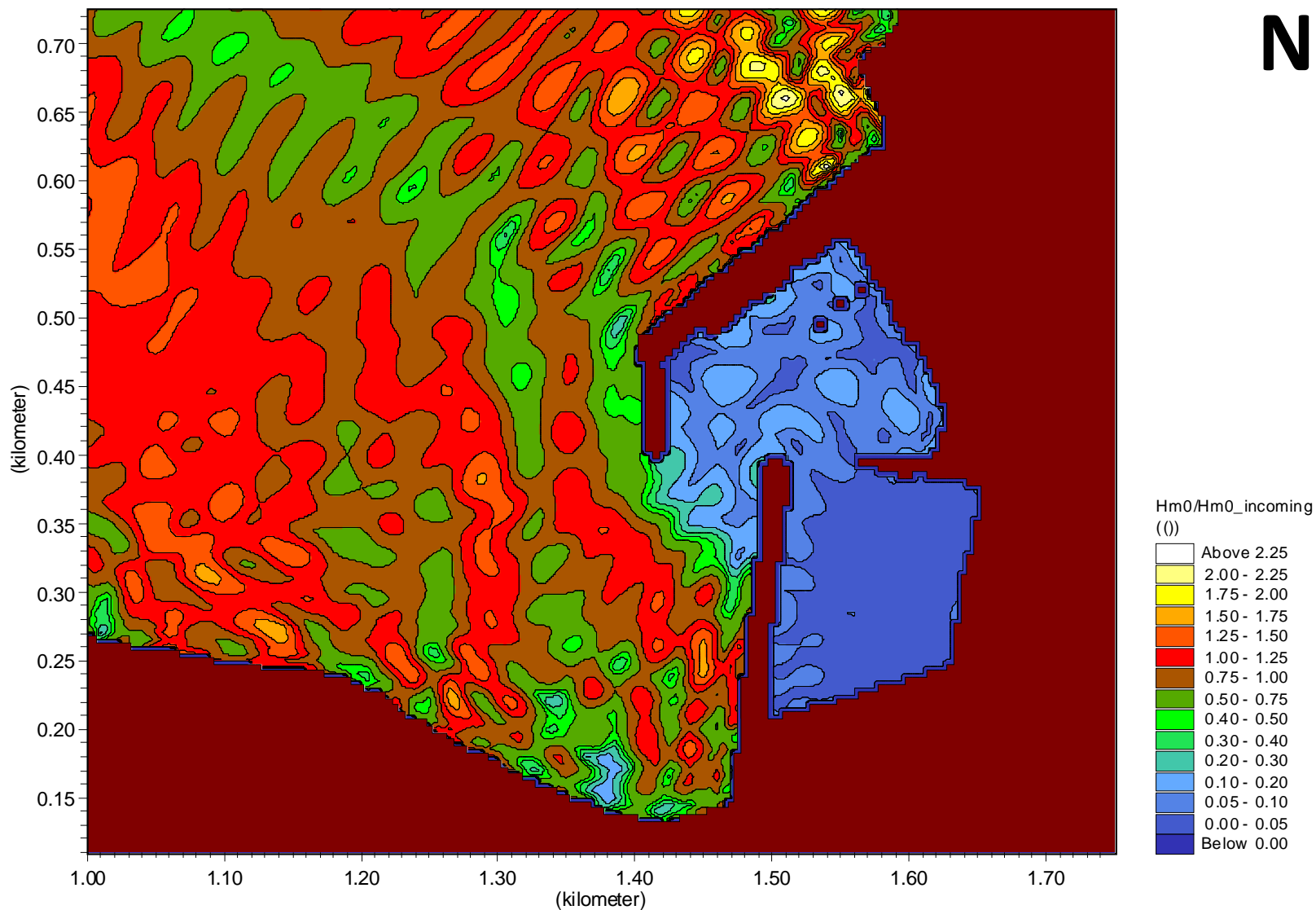


Fig. 47-II Modelo DHI/MIKE21-BW

Índice de Agitação no Porto de Pesca de Rabo de Peixe – Solução 3

Condição de fronteira $H=1\text{m}$; $T=8\text{s}$, Rumo= $N30W$; $H_{\text{maré}}=1\text{m}$, Malha $5\text{x}5\text{m}$

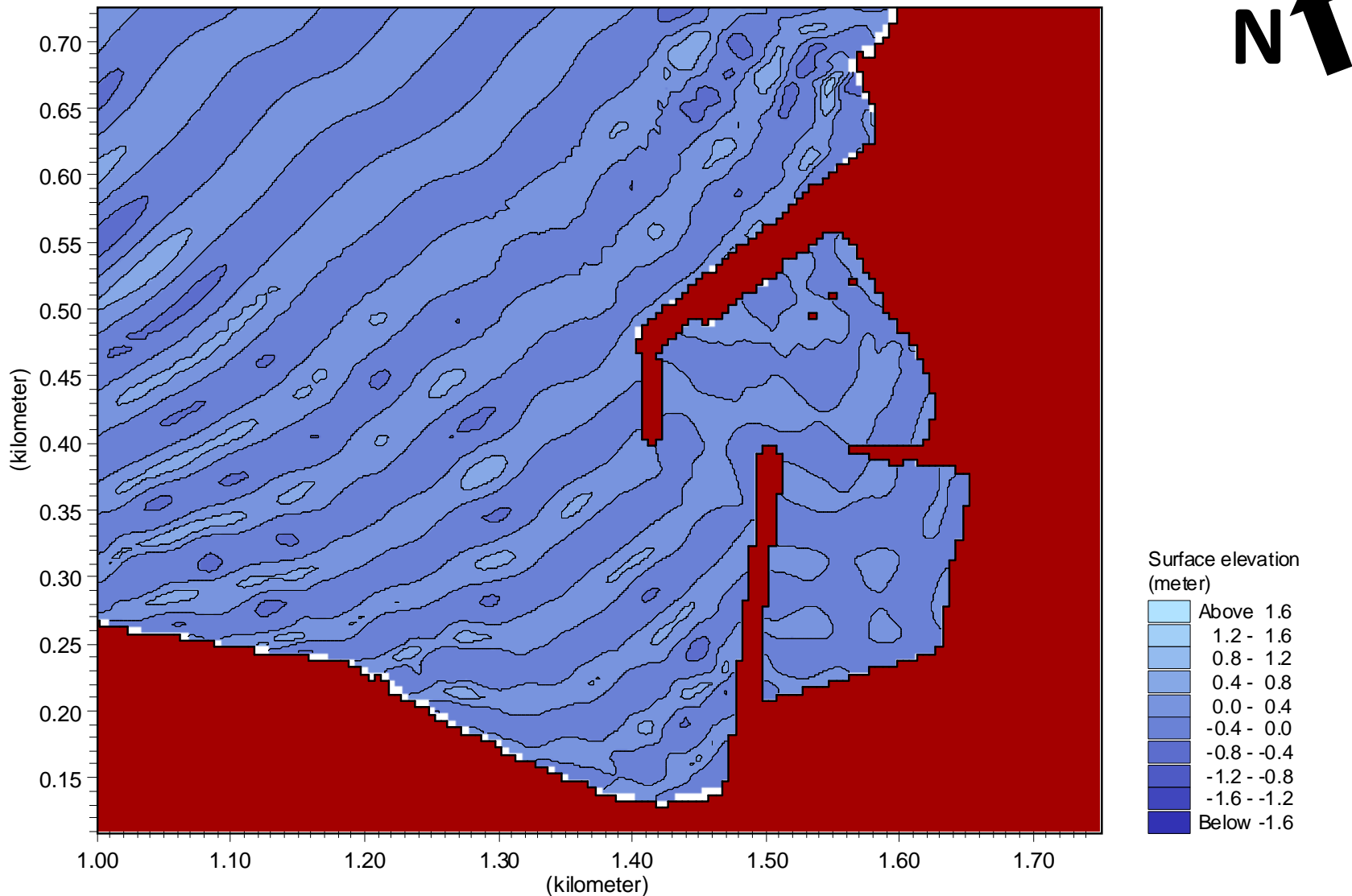


Fig. 48-II Modelo DHI/MIKE21-BW

Sobreelevação da Superfície Livre no Porto de Pesca de Rabo de Peixe – Solução 3

Condição de fronteira $H=1\text{m}$; $T=8\text{s}$, Rumo= $N30W$; $H_{\text{maré}}=1\text{m}$, Malha $5\text{m} \times 5\text{m}$

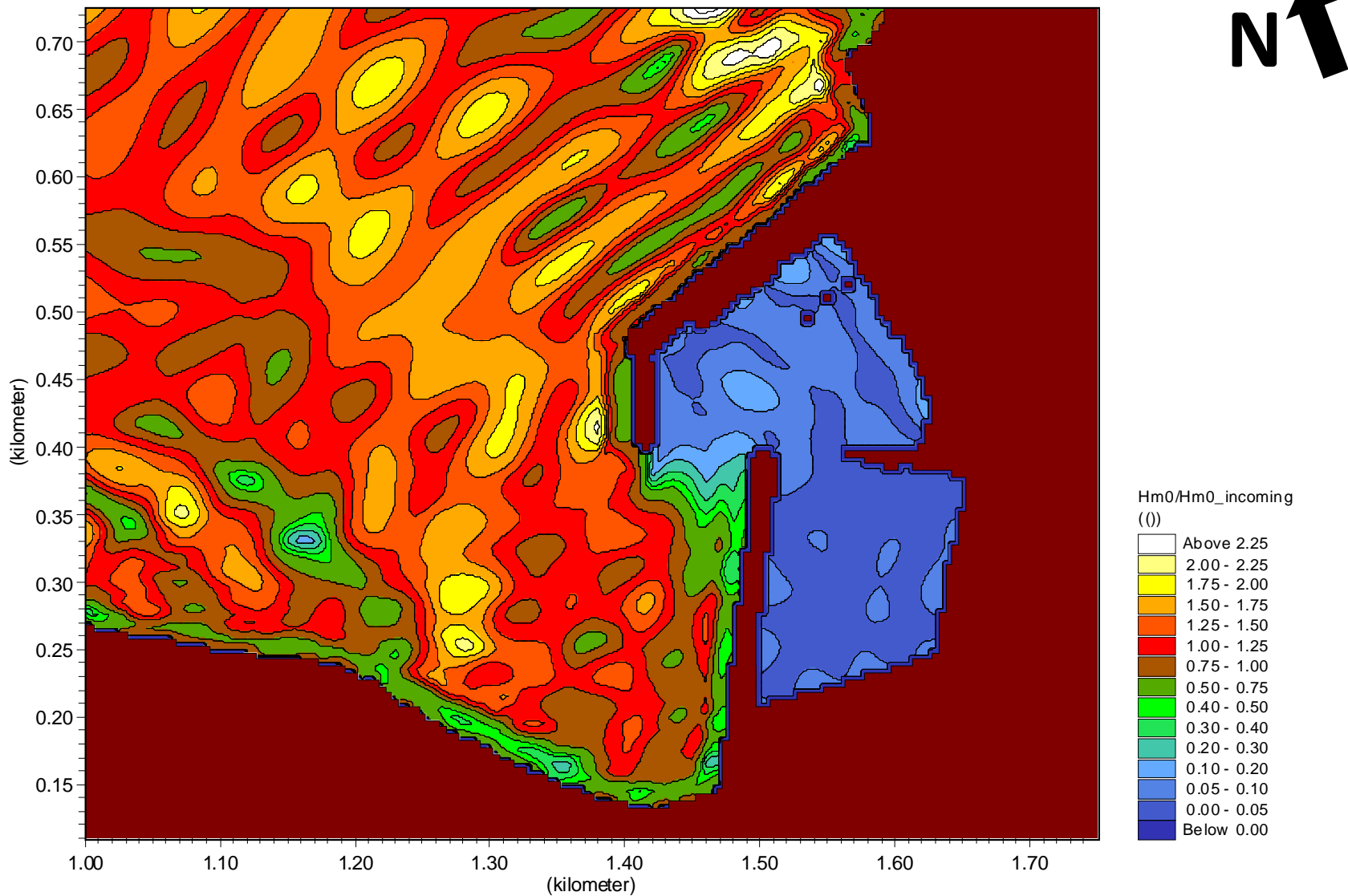


Fig. 49-II Modelo DHI/MIKE21-BW

Índice de Agitação no Porto de Pesca de Rabo de Peixe – Solução 3

Condição de fronteira $H=1m$; $T=12s$, Rumo= $N30W$; $Hmaré=1m$, Malha $5 \times 5m$

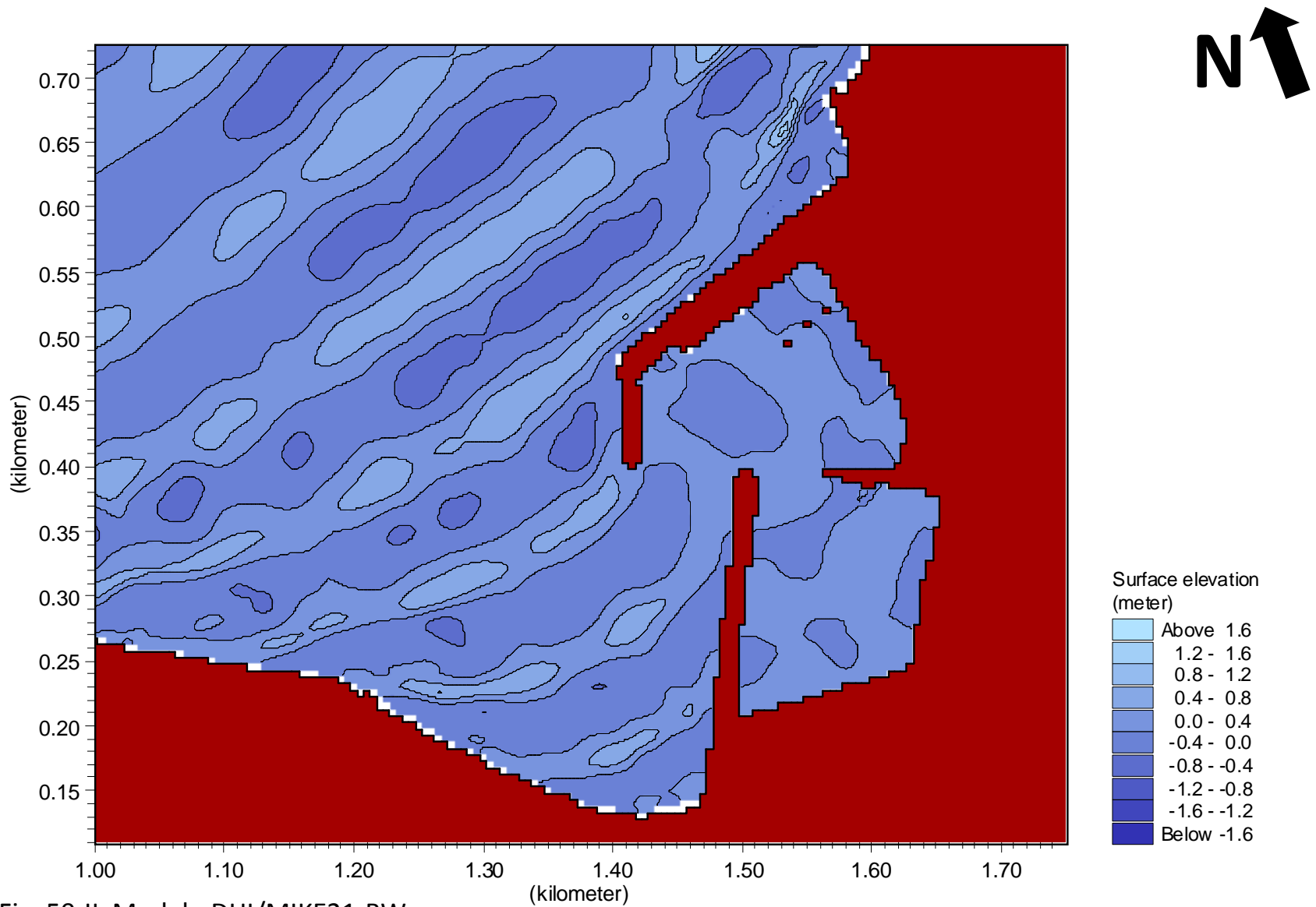


Fig. 50-II Modelo DHI/MIKE21-BW

Sobreelevação da Superfície Livre no Porto de Pesca de Rabo de Peixe – Solução 3

Condição de fronteira $H=1\text{m}$; $T=12\text{s}$, Rumo= $N30W$; $H_{\text{maré}}=1\text{m}$, Malha $5 \times 5\text{m}$

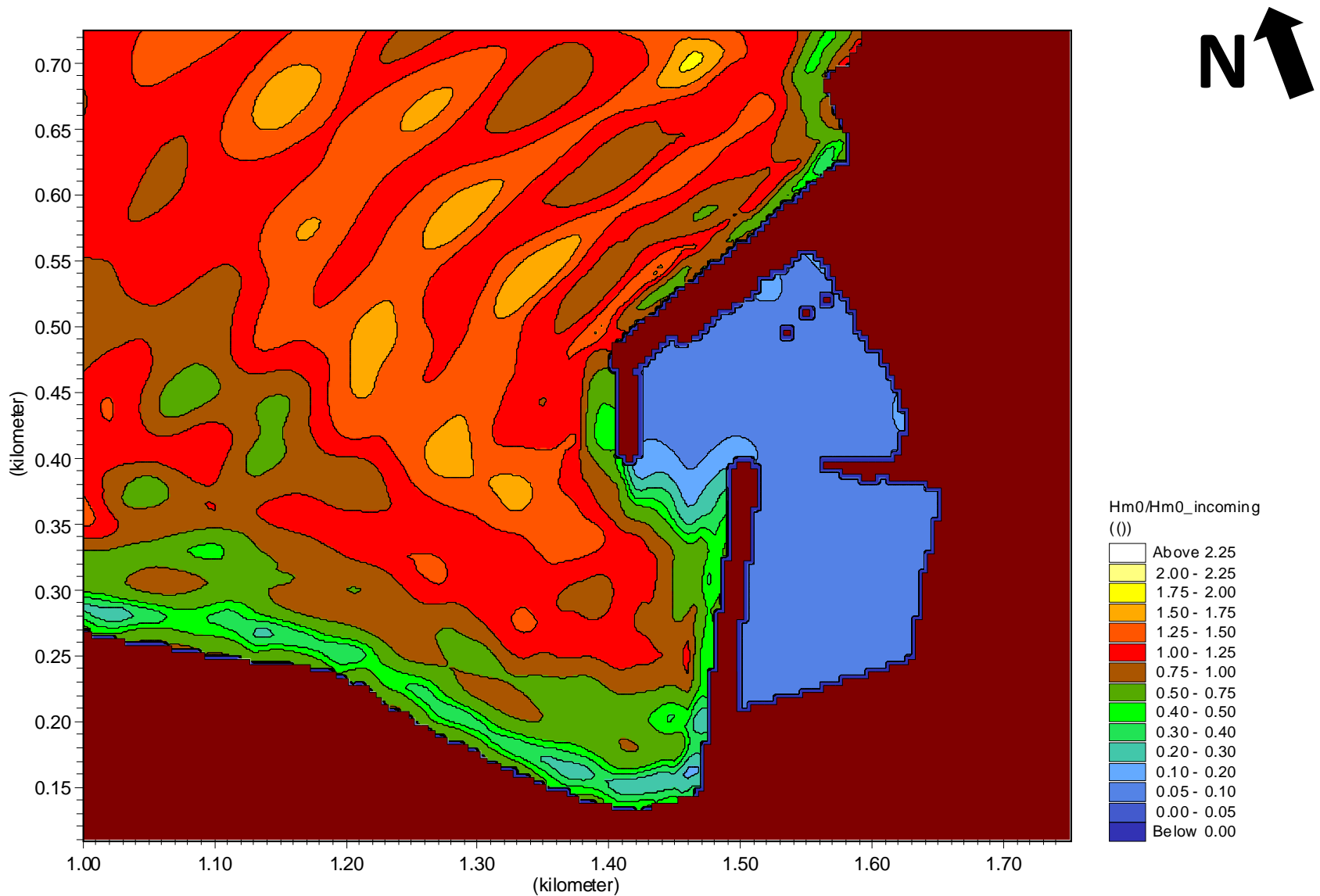


Fig. 51-II Modelo DHI/MIKE21-BW com rebentação

Índice de Agitação no Porto de Pesca de Rabo de Peixe – Solução 3

Condição de fronteira H=3m; T=14s, Rumo=N30W; Hmaré=1m, Malha 5x5m

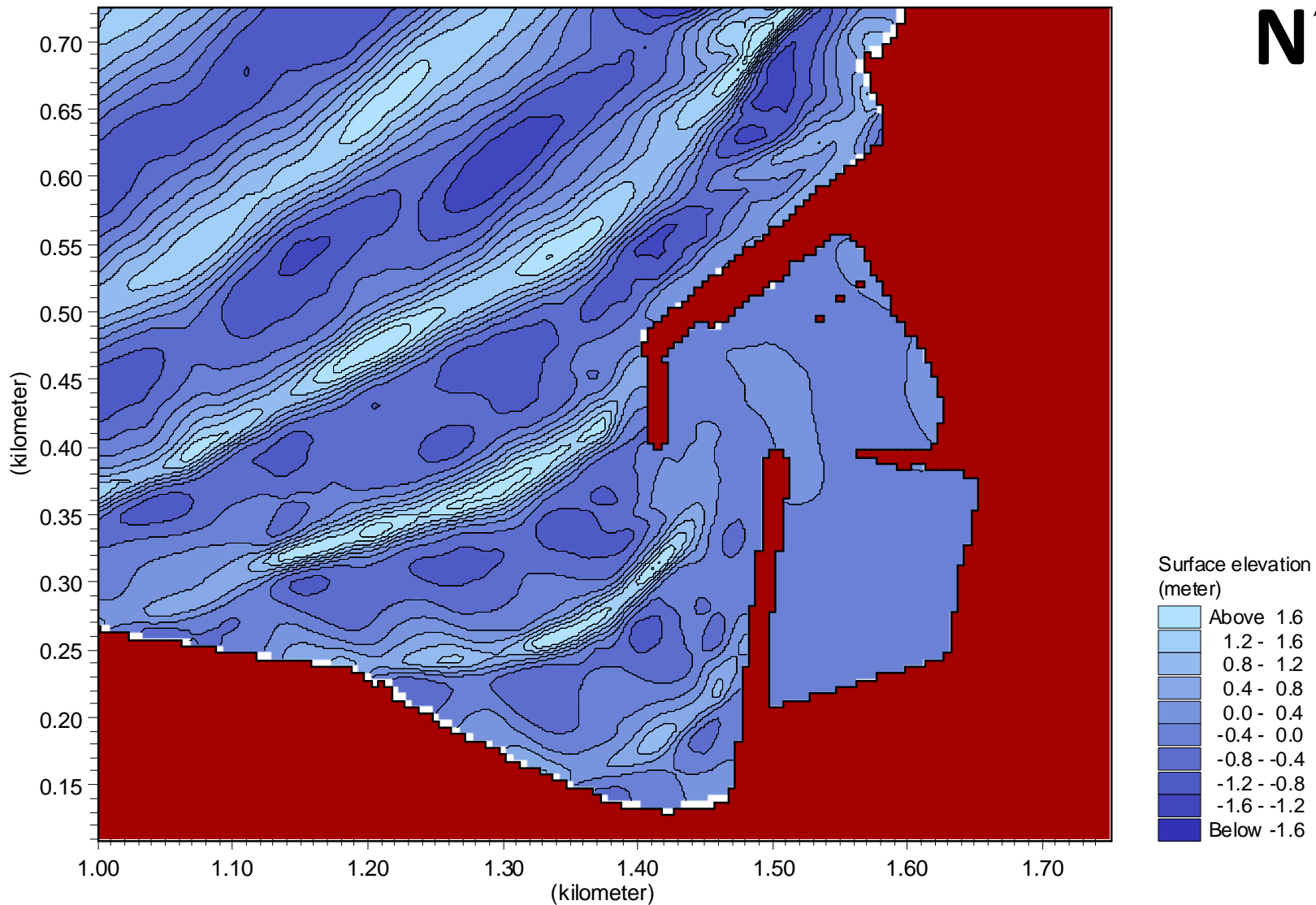


Fig. 52-II Modelo DHI/MIKE21-BW com rebentação
 Sobreelevação da Superfície Livre no Porto de Pesca de Rabo de Peixe – Solução 3
 Condição de fronteira $H=3\text{m}$; $T=14\text{s}$, Rumo= $N30W$; $H_{\text{maré}}=1\text{m}$, Malha $5 \times 5\text{m}$

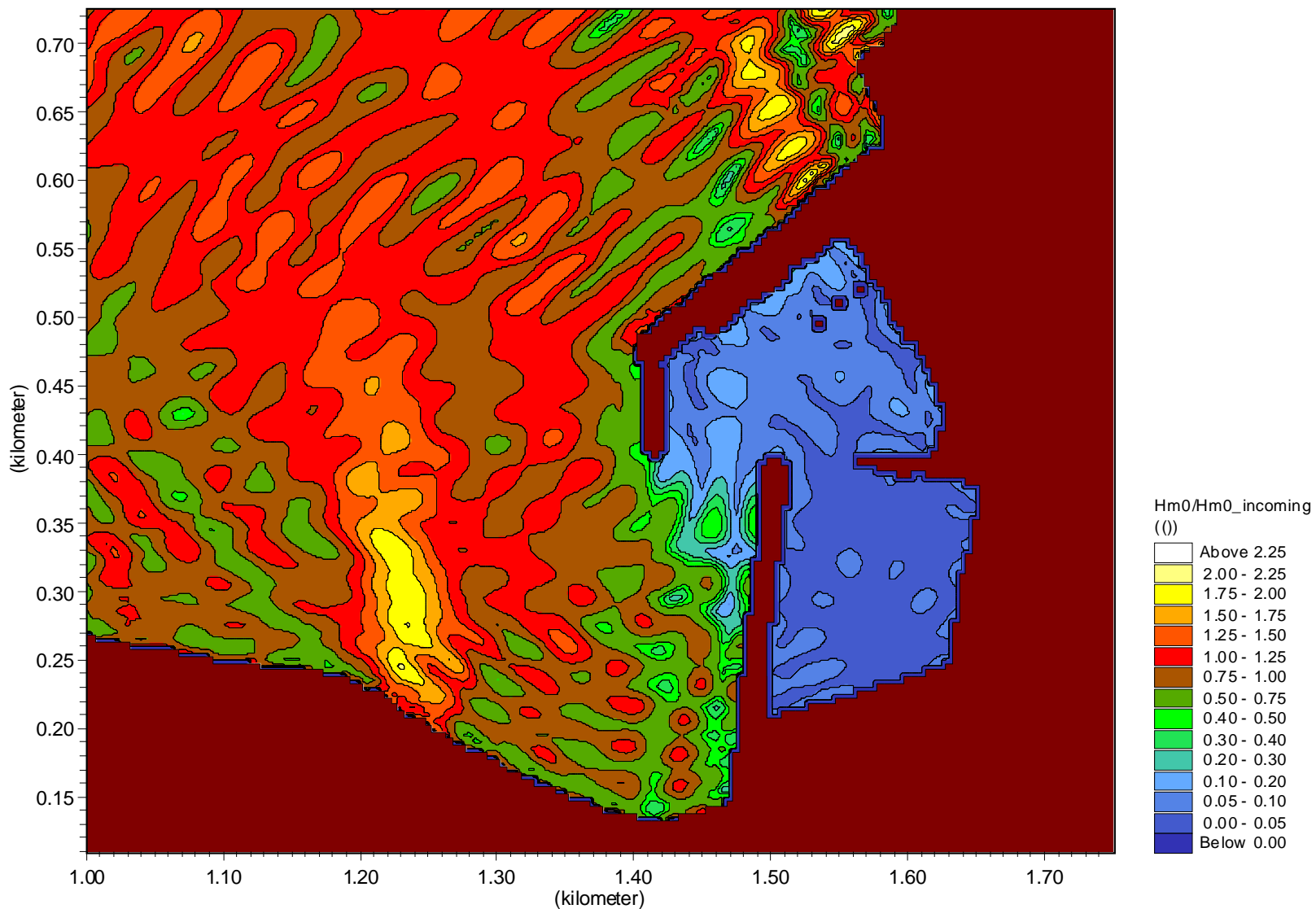


Fig. 53-II Modelo DHI/MIKE21-BW

Índice de Agitação no Porto de Pesca de Rabo de Peixe – Solução 3

Condição de fronteira $H=1\text{m}$; $T=8\text{s}$, Rumo=N; $H_{\text{maré}}=1\text{m}$, Malha $5\text{x}5\text{m}$

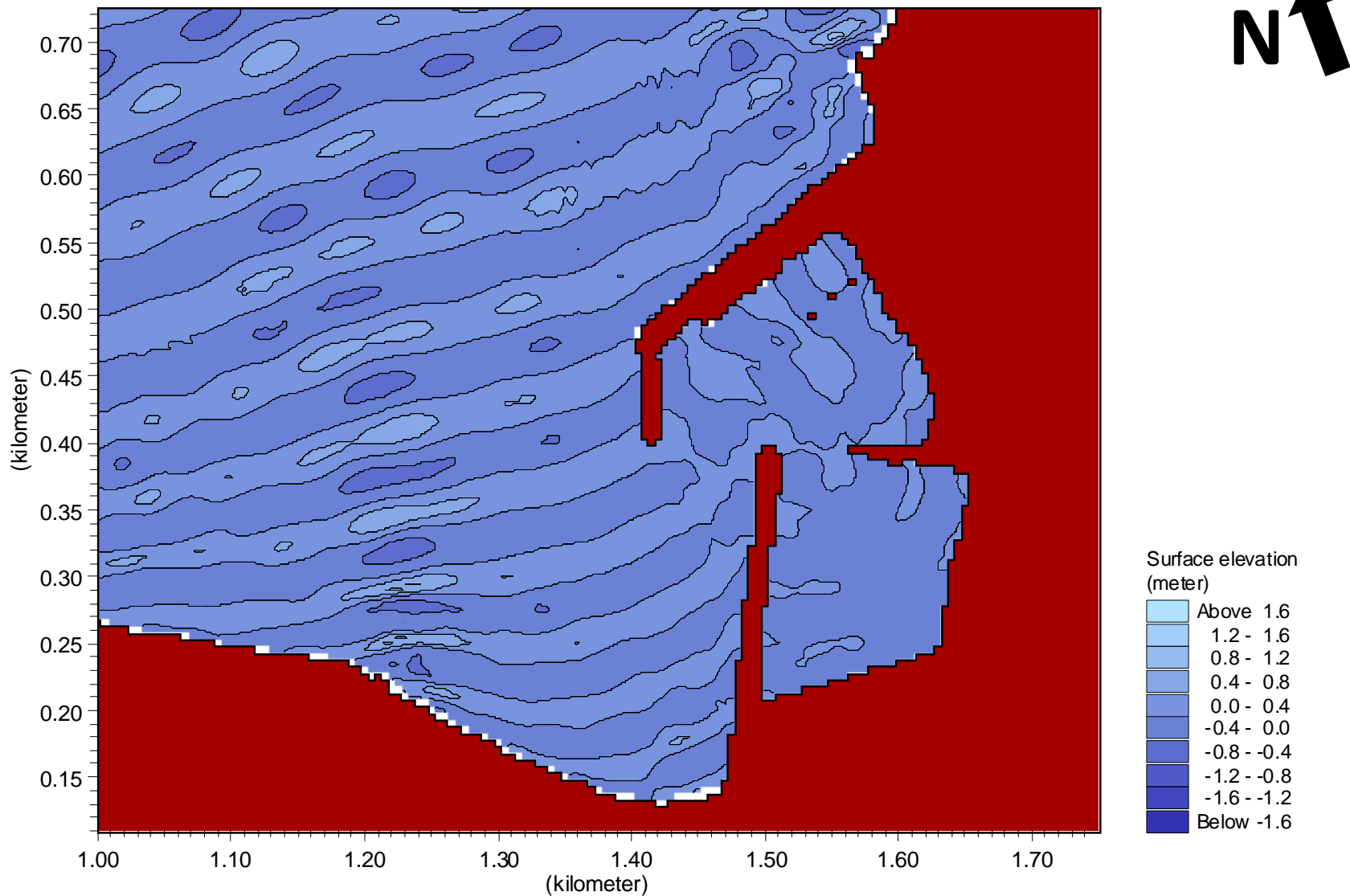


Fig. 54-II Modelo DHI/MIKE21-BW

Sobreelevação da Superfície Livre no Porto de Pesca de Rabo de Peixe – Solução 3

Condição de fronteira $H=1\text{m}$; $T=8\text{s}$, Rumo=N; $H_{\text{maré}}=1\text{m}$, Malha $5\text{m} \times 5\text{m}$

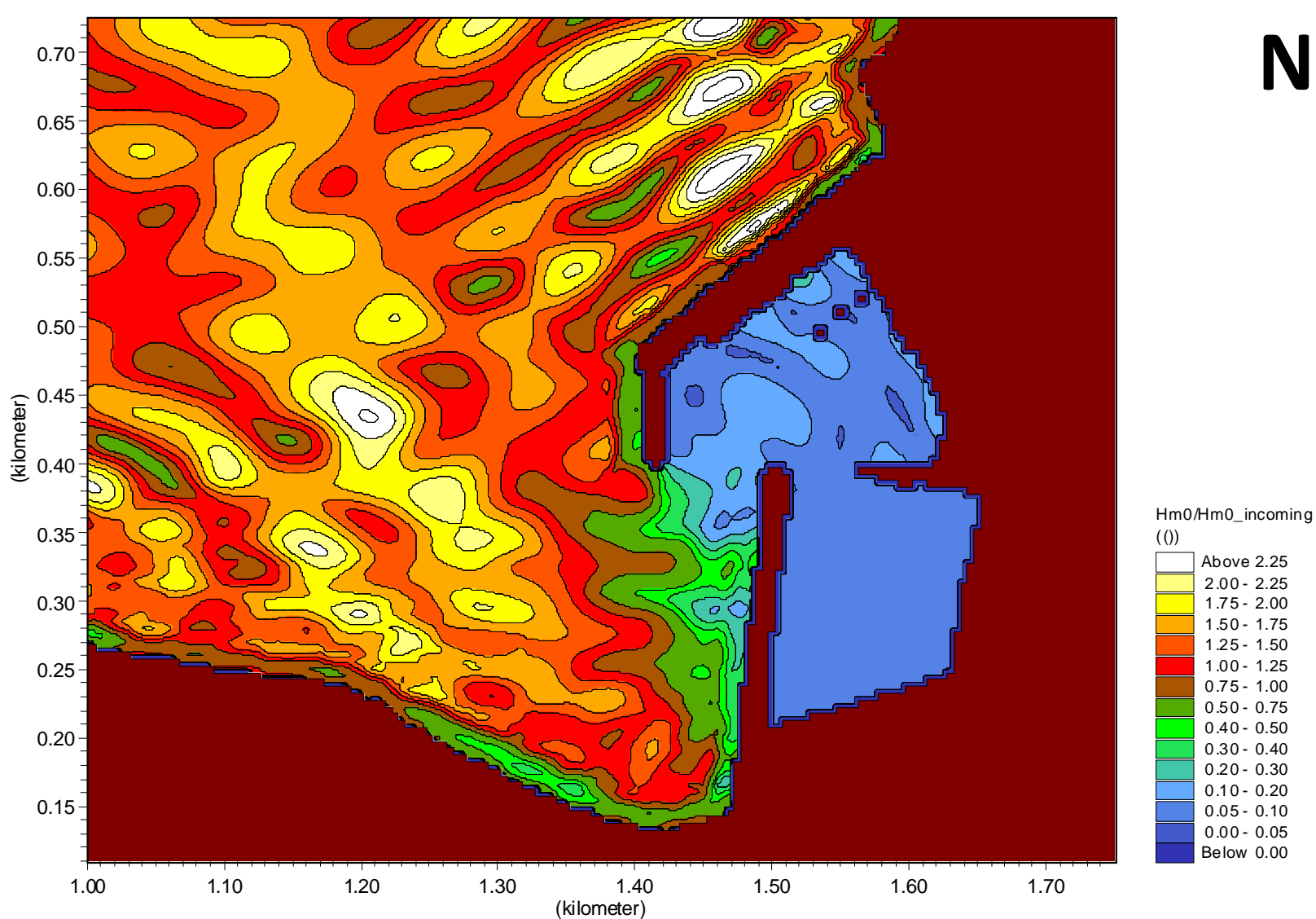


Fig. 55-II Modelo DHI/MIKE21-BW

Índice de Agitação no Porto de Pesca de Rabo de Peixe – Solução 3

Condição de fronteira $H=1m$; $T=12s$, Rumo=N; $H_{maré}=1m$, Malha 5x5m

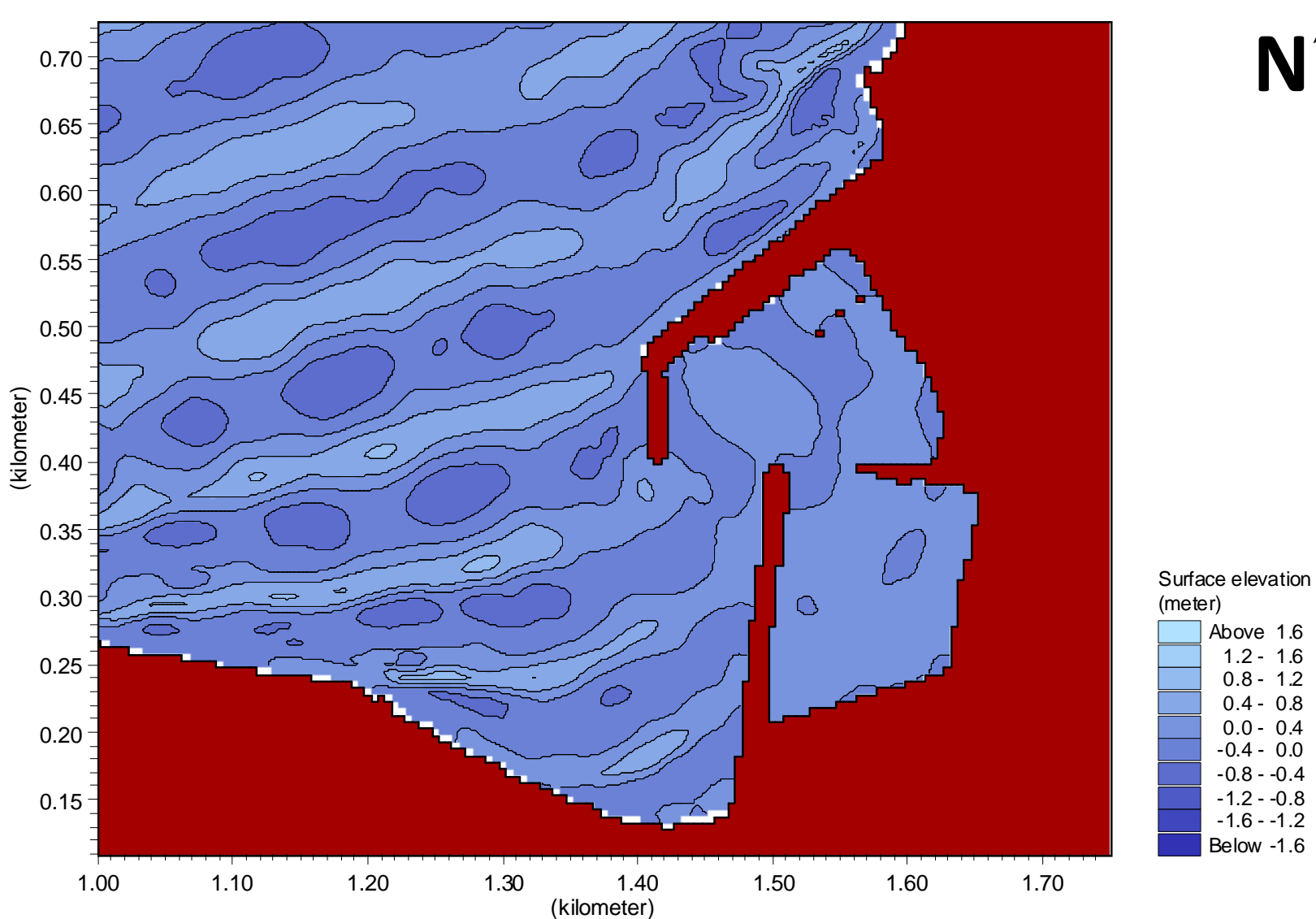


Fig. 56-II Modelo DHI/MIKE21-BW

Sobreelevação da Superfície Livre no Porto de Pesca de Rabo de Peixe – Solução 3

Condição de fronteira $H=1\text{m}$; $T=12\text{s}$, Rumo=N; $H_{\text{maré}}=1\text{m}$, Malha 5x5m

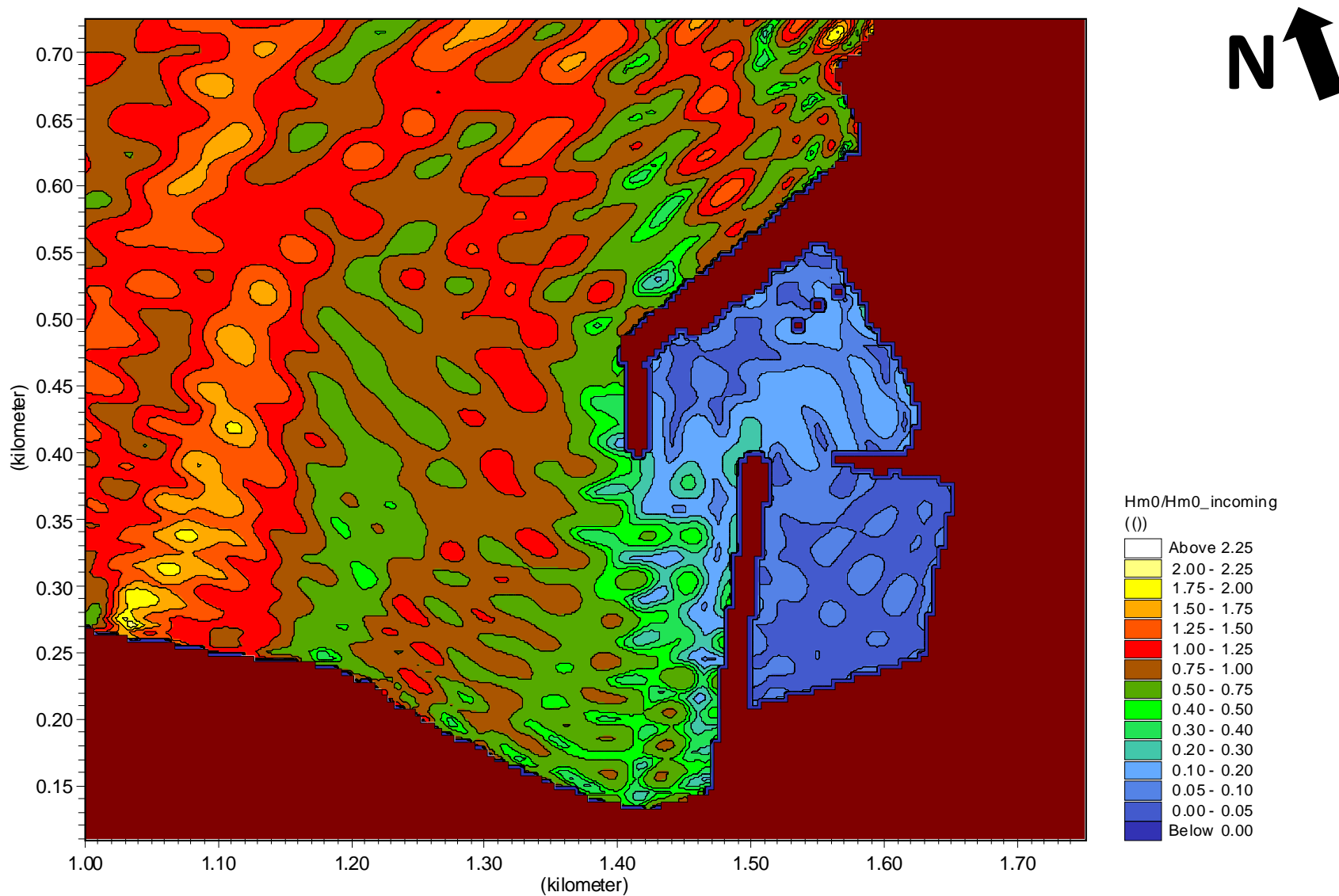


Fig. 57-II Modelo DHI/MIKE21-BW

Índice de Agitação no Porto de Pesca de Rabo de Peixe – Solução 3

Condição de fronteira H=1m; T=8s, Rumo=N30E; Hmaré=1m, Malha 5x5m

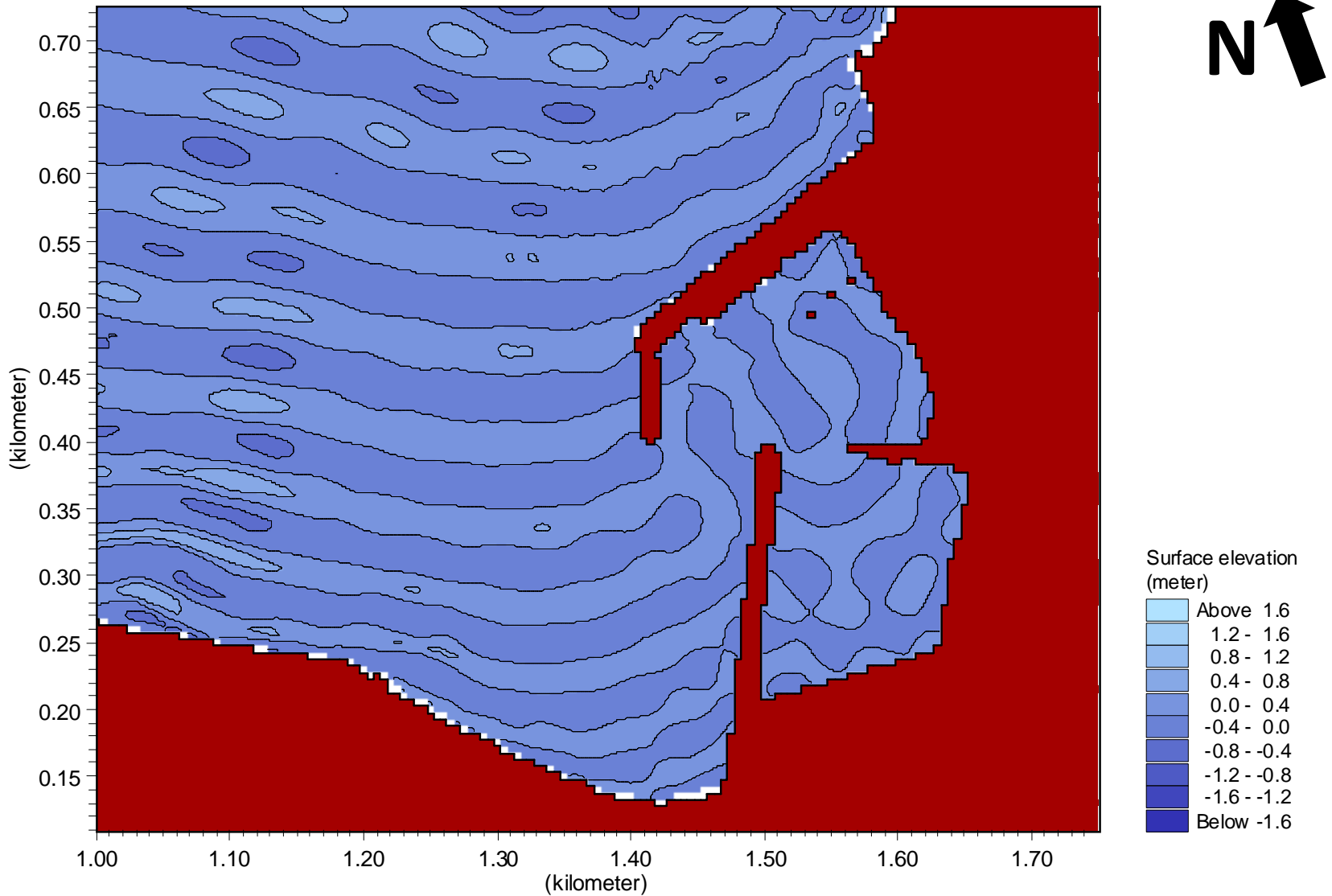


Fig. 58-II Modelo DHI/MIKE21-BW

Sobreelevação da Superfície Livre no Porto de Pesca de Rabo de Peixe – Solução 3

Condição de fronteira $H=1\text{m}$; $T=8\text{s}$, Rumo= $N30E$; $H_{\text{maré}}=1\text{m}$, Malha $5\times 5\text{m}$

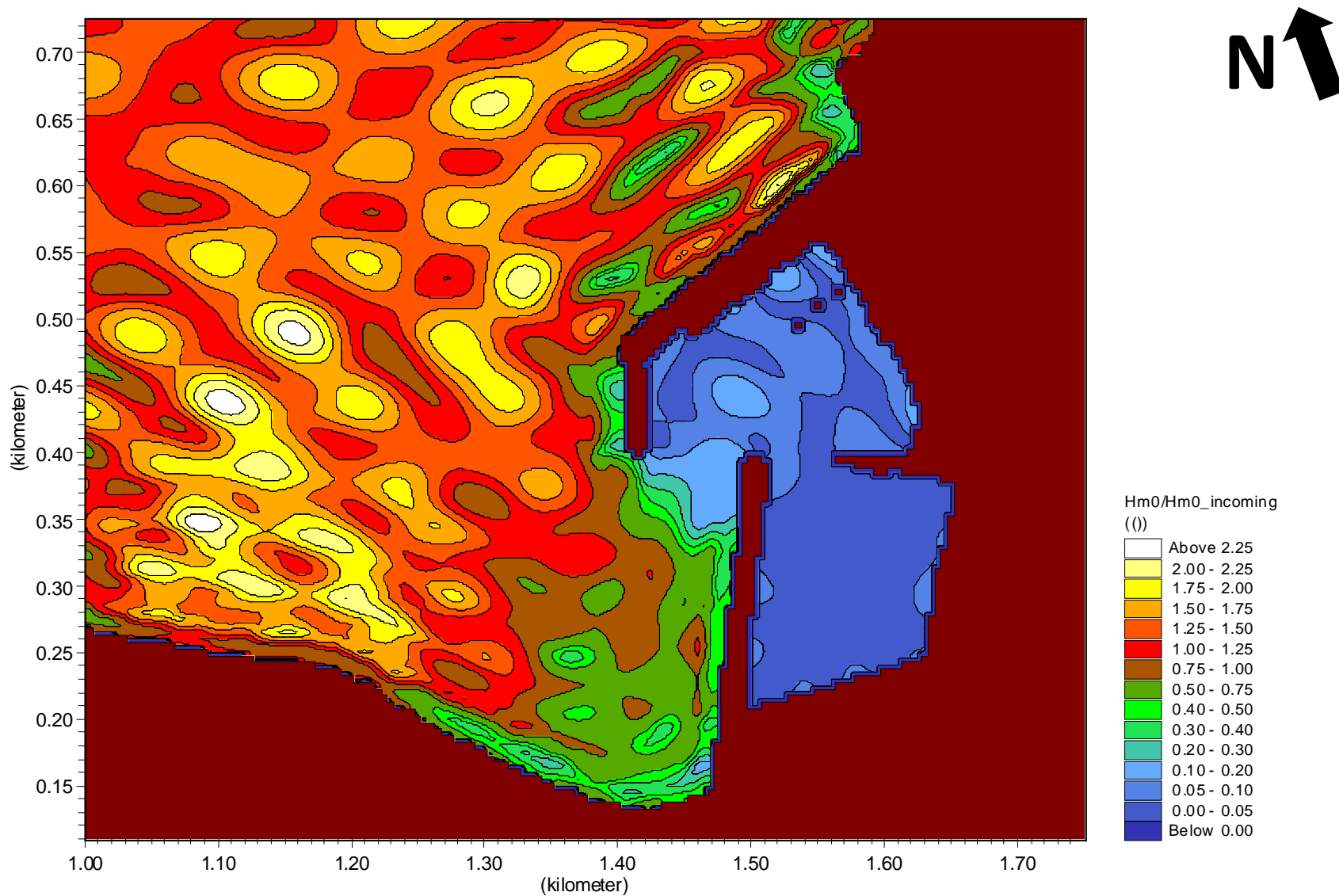


Fig. 59-II Modelo DHI/MIKE21-BW

Índice de Agitação no Porto de Pesca de Rabo de Peixe – Solução 3

Condição de fronteira $H=1m$; $T=12s$, Rumo= $N30E$; $H_{maré}=1m$, Malha $5 \times 5m$

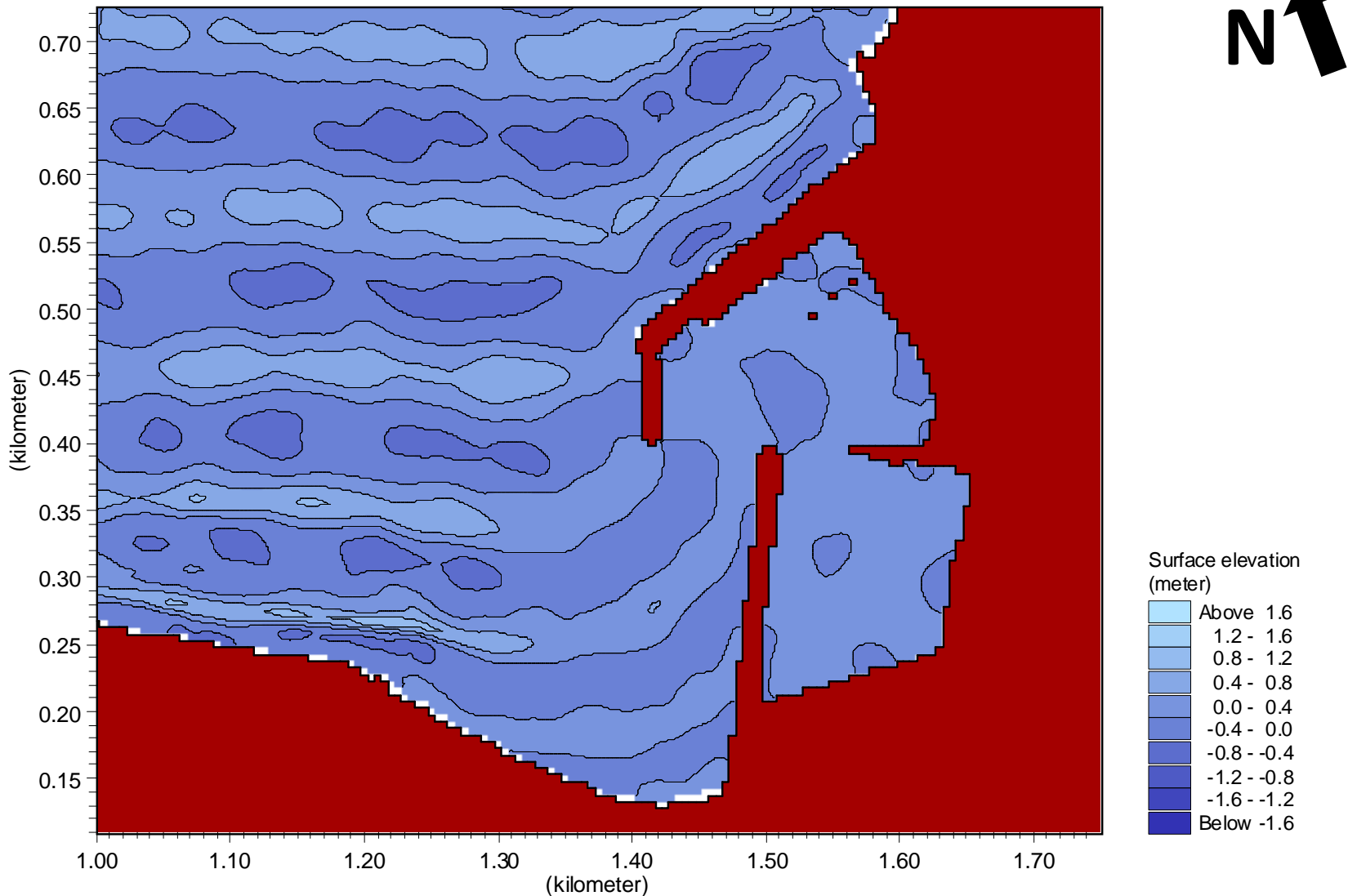


Fig. 60-II Modelo DHI/MIKE21-BW

Sobreelevação da Superfície Livre no Porto de Pesca de Rabo de Peixe – Solução 3

Condição de fronteira $H=1\text{m}$; $T=12\text{s}$, Rumo= $N30E$; $H_{\text{maré}}=1\text{m}$, Malha $5\times 5\text{m}$